

## ОПТИМАЛЬНОЕ УПРАВЛЕНИЕ СОСРЕДОТОЧЕННОЙ СИСТЕМОЙ НА КЛАССЕ КУСОЧНО-ПОСТОЯННЫХ ФУНКЦИЙ ПРИ НЕТОЧНО ЗАДАННОЙ ИНФОРМАЦИИ О ПАРАМЕТРАХ И НАЧАЛЬНЫХ УСЛОВИЯХ

**Ключевые слова:** *неточная информация, начальные условия, параметр объекта, кусочно-постоянное управление, интервал постоянства.*

### ВВЕДЕНИЕ

Известно, что при управлении реальными процессами исходная информация о начальном состоянии и параметрах, от которых зависит поведение управляемой системы, может быть неточной. Для широкого класса задач априорная неопределенность может быть сведена к параметрической, когда вероятностные законы распределения для исследуемых ситуаций, величин и наблюдаемых процессов известны с точностью до конечного числа параметров. В работах [1–9] в условиях, когда известны функции распределения реализации неизвестных параметров и начальных условий, задача оптимального управления объектами с сосредоточенными и распределенными параметрами рассматривается относительно усредненного значения критерия качества. В настоящей статье рассматривается аналогичная задача оптимального управления процессами, описываемыми системами обыкновенных дифференциальных уравнений при неточной исходной информации о начальных условиях и параметрах, но на классе кусочно-постоянных управляющих функций. Следует отметить также, что границы интервалов постоянства управляющих воздействий неизвестны и оптимизируются. В статье получены необходимые условия оптимальности и формулы для градиента функционала в пространстве оптимизируемых параметров, позволяющие для решения задач оптимального управления использовать численные методы конечномерной оптимизации первого порядка. Исследован также случай, когда число интервалов постоянства управляющих воздействий не задано, а оптимизируется. Рассмотрен алгоритм по определению оптимального числа переключений. Приводятся результаты численных экспериментов.

### ПОСТАНОВКА ЗАДАЧИ

Предположим, что  $m$ -вектор  $y$  из компактного множества  $Y \subset E^m$  имеет распределение на нем, заданное функцией распределения  $\varphi_Y(y)$ . При каждом значении вектора  $y$ ,  $y \in Y$ , управляемый объект описывается системой обыкновенных дифференциальных уравнений

$$\dot{x}(t) = f(x, u, y), \quad t \in (0, T], \quad x(0) = x_0 \in X_0 \subset E^n, \quad y \in Y. \quad (1)$$

Здесь начальный вектор  $x_0$  принимает значения из заданного компактного множества  $X_0$  и имеет распределение на множестве  $X_0$ , заданное функцией распределения  $\varphi_{X_0}(x_0)$ ;  $x = x(t) \in E^n$ ,  $t \in [0, T]$ , — фазовый вектор;  $u = u(t) \in E^r$ ,  $t \in [0, T]$ , — управление. Каждому допустимому управлению  $u(t)$ , значениям вектора параметров  $y$  и начального вектора  $x_0$  в силу (1) соответствует траектория  $x(t) = x(t; u, y, x_0)$ ,  $t \in [0, T]$ .

Управление системой (1) рассматривается на классе кусочно-постоянных функций [10], принимающих постоянные значения на каждом полуинтервале  $[\tau_{j-1}, \tau_j)$ ,  $j=1, \dots, L$ , полученном разбиением отрезка  $[0, T]$   $(L-1)$  оптимизируемыми точками  $\tau_j$ ,  $j=1, \dots, L-1$ , т.е.

$$\begin{aligned} u(t) &= v_j = \text{const}, \quad t \in [\tau_{j-1}, \tau_j), \quad v_j \in E^r, \\ \tau_{j-1} &\leq \tau_j, \quad j=1, \dots, L, \quad \tau_0 = 0, \quad \tau_L = T, \end{aligned} \quad (2)$$

а значения управления  $v_j \in E^r$ ,  $j=1, \dots, L$ , должны принадлежать некоторому заданному допустимому множеству  $U$ , в частности параллелепипеду

$$U = \{v: v = (v_1, \dots, v_L), \alpha_j \leq v_j \leq \beta_j, v_j, \alpha_j, \beta_j \in E^r, j=1, \dots, L\}. \quad (3)$$

Задача заключается в нахождении кусочно-постоянных значений управления  $u(t)$ , т.е. значений конечномерных векторов  $v_j \in E^r$ ,  $j=1, \dots, L$ , и границ интервалов постоянства этих значений, определяемых вектором  $\tau = (\tau_1, \dots, \tau_{L-1})$ , при которых заданный функционал

$$\begin{aligned} J(u) &= I(v, \tau) = \\ &= \int_Y \int_{X_0} \left\{ \int_0^T f^0(x(t; u, x_0, y), u(t)) dt + \Phi(x(T; u, x_0, y)) \right\} d\varphi_{X_0}(x_0) d\varphi_Y(y) \end{aligned} \quad (4)$$

при условиях (1)–(3) принимает минимальное значение,  $(v, \tau) \in E^{L(r+1)-1}$ . Предполагается, что заданные функции  $f^0$ ,  $\Phi$  и вектор-функция  $f$  вместе с частными производными непрерывны по своим аргументам.

Эту задачу оптимального управления можно отнести к специальному классу задач конечномерной оптимизации, в которой для вычисления целевой функции  $J(u) = I(v, \tau)$  требуется решить задачу Коши (1) и вычислить интеграл из (4).

#### НЕОБХОДИМЫЕ УСЛОВИЯ ОПТИМАЛЬНОСТИ

Для решения задачи (1)–(4), т.е. для определения оптимальных значений векторов  $v \in E^{Lr}$  и  $\tau \in E^{L-1}$ , предлагается использовать конечномерные методы оптимизации первого порядка. С этой целью будут получены аналитические формулы градиента целевого функционала  $\text{grad } J(u) = \nabla I(v, \tau) = (\nabla_v I(v, \tau), \nabla_\tau I(v, \tau))$ .

Рассмотрим следующую функцию Гамильтона–Понтрягина и соответствующую сопряженную систему [1, 2]:

$$H(\psi, x, u, x_0, y) = -f^0(x, u) + \psi^T(t; u, x_0, y) f(x, u, y); \quad (5)$$

$$\dot{\psi}(t; u, x_0, y) = -\frac{\partial H(\psi, x, u, x_0, y)}{\partial x} = -\frac{\partial f^0(x, u)}{\partial x} - \frac{\partial f^T(x, u, y)}{\partial x} \psi(t; u, x_0, y),$$

$$\psi(T; u, x_0, y) = -\frac{\partial \Phi(x(T; u, x_0, y))}{\partial x}, \quad (6)$$

где  $\psi(t) = \psi(t; u, x_0, y) \in E^n$  — решение задачи Коши (6), соответствующее допустимому управлению  $u = u(t) \in U$ , начальному условию  $x_0 \in X_0$  и значению параметра  $y \in Y$ . Введем следующее обозначение:

$$J_0(u, x_0, y) = \int_0^T f^0(x(t; u, x_0, y), u(t)) dt + \Phi(x(T; u, x_0, y)).$$

Учитывая, что значения управления  $u(t)$ , начальные условия  $x_0 \in X_0$  и значения вектора параметров  $y \in Y$  взаимно независимы, имеем

$$\nabla I(v, \tau) = \text{grad } J(u) = \int_Y \int_{X_0} \text{grad } J_0(u; x_0, y) d\varphi_{X_0}(x_0) d\varphi_Y(y).$$

Пусть при каких-либо заданных значениях вектора параметров  $y \in Y$  и начального вектора  $x_0 \in X_0$  допустимое управление  $u(t)$  получило приращение  $\Delta u = \Delta u(t)$ , причем  $u(t) + \Delta u(t) \in U$ . Тогда соответствующее приращение функционала (4) можно записать следующим образом [1]:

$$\begin{aligned} \Delta I(v, \tau) &= \Delta J(u) = J(u + \Delta u) - J(u) = \\ &= \int_Y \int_{X_0} (J_0(u + \Delta u; x_0, y) - J_0(u; x_0, y)) d\varphi_{X_0}(x_0) d\varphi_Y(y) = \\ &= \int_Y \int_{X_0} \left\{ - \int_0^T \frac{\partial H^T(\psi, x, u, x_0, y)}{\partial u} \Delta u(t) dt + o(\|\Delta u(\cdot)\|) \right\} d\varphi_{X_0}(x_0) d\varphi_Y(y), \end{aligned} \quad (7)$$

где

$$\begin{aligned} \|\Delta u(t)\| &= \|\Delta u(t)\|_{L_2[0, T]} = \left( \int_0^T \|\Delta u(t)\|_{E^r}^2 dt \right)^{1/2}, \\ \lim_{\|\Delta u\| \rightarrow 0} \frac{o(\|\Delta u\|)}{\|\Delta u\|} &= 0. \end{aligned}$$

С целью получения формул для компонентов градиента  $\nabla_v I(v, \tau)$ , учитывая кусочно-постоянство управления, приращение  $\Delta u(t)$  выберем из предположения, что произвольно выбранный  $i$ -й компонент управления,  $i=1, \dots, r$ , на каком-либо  $j$ -м интервале постоянства,  $j=1, \dots, L$ , получила приращение  $\Delta v_{ij}$ , т.е.

$$\Delta u(t) = \begin{cases} 0, & 0 \leq t < \tau_{j-1}, \tau_j \leq t \leq T, \\ \Delta_j v_j = \text{const}, & \tau_{j-1} \leq t < \tau_j, \end{cases} \quad (8)$$

где  $\Delta_j v_j = (0, \dots, 0, \Delta v_{ij}, 0, \dots, 0)$ . Преобразуем соответствующее приращению управления (8) выражение приращения функционала (7):

$$\begin{aligned} \Delta_v I(v, \tau) &= \Delta J(u) = \\ &= \int_Y \int_{X_0} \left\{ - \int_0^{\tau_{j-1}} \frac{\partial H^T(\psi, x, u, x_0, y)}{\partial u} \Delta u dt - \int_{\tau_{j-1}}^{\tau_j} \frac{\partial H^T(\psi, x, u, x_0, y)}{\partial u} \Delta u dt - \right. \\ &\quad \left. - \int_{\tau_j}^T \frac{\partial H^T(\psi, x, u, x_0, y)}{\partial u} \Delta u dt + o(\|\Delta u(\cdot)\|) \right\} d\varphi_{X_0}(x_0) d\varphi_Y(y) = \\ &= \int_Y \int_{X_0} \left\{ - \int_{\tau_{j-1}}^{\tau_j} \frac{\partial H^T(\psi, x, u, x_0, y)}{\partial u} \Delta v_j dt + o(\|\Delta u(\cdot)\|) \right\} d\varphi_{X_0}(x_0) d\varphi_Y(y) = \\ &= \int_Y \int_{X_0} \left\{ - \int_{\tau_{j-1}}^{\tau_j} \frac{\partial H^T(\psi, x, u, x_0, y)}{\partial u_i} \Delta v_{ij} dt \right\} d\varphi_{X_0}(x_0) d\varphi_Y(y) + \\ &\quad + \int_Y \int_{X_0} o(\|\Delta u(\cdot)\|) d\varphi_{X_0}(x_0) d\varphi_Y(y). \end{aligned} \quad (9)$$

Разделив обе части (9) на  $\Delta v_{ij}$  и перейдя к пределу при  $\Delta v_{ij} \rightarrow 0$  с учетом того, что в силу (8) и компактности множеств  $Y, X_0$  справедливо

$$\lim_{\Delta v_{ij} \rightarrow 0} \int_Y \int_{X_0} \frac{o(\|\Delta u(\cdot)\|)}{\Delta v_{ij}} d\varphi_{X_0}(x_0) d\varphi_Y(y) = 0,$$

имеем

$$\begin{aligned} \frac{dI(v, \tau)}{dv_{ij}} &= \int_Y \int_{X_0} \left\{ - \int_{\tau_{j-1}}^{\tau_j} \frac{\partial H^T(\psi, x, u, x_0, y)}{\partial u_i} dt \right\} d\varphi_{X_0}(x_0) d\varphi_Y(y) = \\ &= \int_Y \int_{X_0} \left\{ \int_{\tau_{j-1}}^{\tau_j} \left[ \frac{\partial f^0(x, u, t)}{\partial u_i} - \frac{\partial f^T(x, u, y)}{\partial u_i} \psi(t, u, x_0, y) \right] dt \right\} d\varphi_{X_0}(x_0) d\varphi_Y(y), \quad (10) \end{aligned}$$

$$j = 1, \dots, L, \quad i = 1, \dots, r.$$

Далее получим формулу для  $\nabla_{\tau} I(v, \tau)$ . Пусть значение  $\tau_j$  получило приращение  $\Delta \tau_j$ , причем  $\Delta \tau_j > 0$  и  $\tau_j + \Delta \tau_j < \tau_{j+1}$ . Такое изменение значения  $\tau_j$  соответствует случаю, когда управление получит приращение, которое можно записать в виде

$$\Delta u(t) = \begin{cases} 0, & 0 \leq t < \tau_j, \tau_j + \Delta \tau_j \leq t \leq T, \\ v_j - v_{j+1}, & \tau_j \leq t < \tau_j + \Delta \tau_j. \end{cases} \quad (11)$$

Для приращения функционала (7), соответствующего приращению управления (11), имеем

$$\begin{aligned} \Delta_{\tau} I(v, \tau) &= \Delta J(u) = \\ &= \int_Y \int_{X_0} \left\{ - \int_0^{\tau_j} \frac{\partial H^T(\psi, x, u, x_0, y)}{\partial u} \Delta u dt - \int_{\tau_j}^{\tau_j + \Delta \tau_j} \frac{\partial H^T(\psi, x, u, x_0, y)}{\partial u} \Delta u dt - \right. \\ &\quad \left. - \int_{\tau_j + \Delta \tau_j}^T \frac{\partial H^T(\psi, x, u, x_0, y)}{\partial u} \Delta u dt + o(\|\Delta u(\cdot)\|) \right\} d\varphi_{X_0}(x_0) d\varphi_Y(y) = \\ &= \int_Y \int_{X_0} \left\{ - \int_{\tau_j}^{\tau_j + \Delta \tau_j} \frac{\partial H^T(\psi, x, u, x_0, y)}{\partial u} \Delta u dt + o(\|\Delta u(\cdot)\|) \right\} d\varphi_{X_0}(x_0) d\varphi_Y(y) = \quad (12) \\ &= (v_j - v_{j+1})^T \int_Y \int_{X_0} \left\{ - \int_{\tau_j}^{\tau_j + \Delta \tau_j} \frac{\partial H^T(\psi, x, u, x_0, y)}{\partial u} dt \right\} d\varphi_{X_0}(x_0) d\varphi_Y(y) + \\ &\quad + \int_Y \int_{X_0} o(\|\Delta u(\cdot)\|) d\varphi_{X_0}(x_0) d\varphi_Y(y). \end{aligned}$$

Разделим обе части (12) на  $\Delta \tau_j$  и перейдем к пределу  $\Delta \tau_j \rightarrow 0$ . Используя теорему о среднем значении с учетом того, что в силу (11) и компактности множеств  $Y, X_0$  имеет место

$$\lim_{\Delta \tau_j \rightarrow 0} \int_Y \int_{X_0} \frac{o(\|\Delta u(\cdot)\|)}{\Delta \tau_j} d\varphi_{X_0}(x_0) d\varphi_Y(y) = 0,$$

получим

$$\frac{dI(v, \tau)}{d\tau_j} = (v_j - v_{j+1}) \times \int_Y \int_{X_0} \left\{ \left[ \frac{\partial f^0(x, u, t)}{\partial u} - \frac{\partial f^T(x, u, t)}{\partial u} \psi(t; u, x_0, y) \right] \Big|_{t=\tau_j} \right\} d\varphi_{X_0}(x_0) d\varphi_Y(y), \quad (13)$$

$$j=1, \dots, L-1.$$

Отрицательное приращение  $\Delta\tau_j < 0$  для  $\tau_j$ , когда  $\tau_j - |\Delta\tau_j| > \tau_{j-1}$ , соответствует тому, что управление  $u(t)$  получает приращение

$$\Delta u(t) = \begin{cases} 0, & 0 \leq t < \tau_j - |\Delta\tau_j|, \tau_j \leq t \leq T, \\ v_{j+1} - v_j, & \tau_j - |\Delta\tau_j| \leq t < \tau_j. \end{cases}$$

Повторив аналогичные формуле (12) выкладки, снова получим формулу (13).

Таким образом, доказана следующая теорема.

**Теорема 1.** Градиент функционала задачи (1)–(4) в пространстве управляющих параметров  $(v, \tau) \in E^{L(r+1)-1}$  при выполнении налагаемых выше условий на функции, участвующие в задаче, определяется формулами (6), (10), (13).

#### ОПТИМИЗАЦИЯ ЧИСЛА ИНТЕРВАЛОВ ПОСТОЯНСТВА УПРАВЛЕНИЯ

Выше предполагалось, что управляющие воздействия в задаче (1)–(4) ищутся на классе кусочно-постоянных функций с заранее заданным числом  $L$  переключений управления от одного значения к другому. В практических приложениях число переключений, как правило, заранее не бывает определенным и требуется выбор оптимального их числа.

В связи с этим рассмотрим следующий подход «рационального» выбора числа переключений, основанный на результатах работы [10]. При этом очевидно, что рациональное число переключений управляющих воздействий в какой-то степени должно удовлетворять условию возможной минимальности их числа.

Обозначим  $J_L^* = J^*(v^L, \tau^L, L)$  минимальное значение функционала задачи (1)–(4) при заданном числе  $L$  интервалов постоянства управления,  $v^L, \tau^L$  — соответственно оптимальные кусочно-постоянное управление и границы интервалов постоянства. Очевидно, что  $J_L^* = J^*(v^L, \tau^L, L)$  как сложная функция третьего аргумента  $L$  является невозрастающей, т.е. в общем случае имеет место неравенство

$$J^*(u^*) \leq J^*(v^{L_1}, \tau^{L_1}, L_1) \leq J^*(v^{L_2}, \tau^{L_2}, L_2) \text{ при } L_1 > L_2, \quad (14)$$

где  $J^* = J^*(u^*)$  — оптимальное значение функционала исходной задачи управления (1)–(4) на классе кусочно-непрерывных управляющих функций. Таким образом, из (14) следует, что при увеличении числа интервалов постоянства оптимальные значения целевого функционала могут лишь уменьшаться и приближаться сколь угодно близко к  $J^*$  (рис. 1):

$$\lim_{L \rightarrow \infty} J^*(v^L, \tau^L, L) = J^*.$$

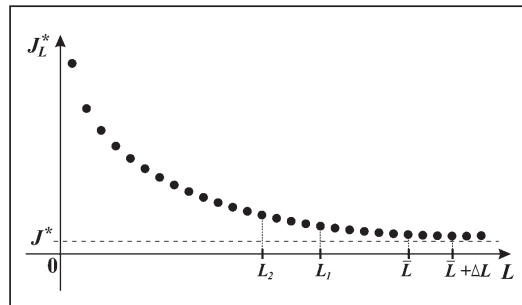


Рис. 1. Зависимость оптимального значения функционала от числа интервалов постоянства управления

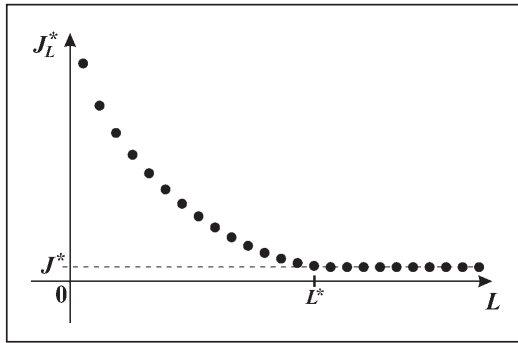


Рис. 2. Зависимость самого оптимального управления от заданного числа  $L$

В случае, если решение задачи оптимального управления (1)–(4) на классе кусочно-непрерывных функций является кусочно-постоянным (релейным, нескольльзящим) управлением, то существует определенное значение  $L^*$ , для которого имеет место равенство (рис. 2)

$$J^*(v^L, \tau^L, L) = J^*(u^*) \text{ при } L > L^*.$$

В качестве рационального («оптимального») числа интервалов постоянства управления предлагается принять такое минимальное значение  $\bar{L}$ , при котором впервые выполняется одно из следующих неравенств:

$$\Delta J^*(v^{\bar{L}}, \tau^{\bar{L}}, \bar{L}) = |J^*(v^{\bar{L}+\Delta L}, \tau^{\bar{L}+\Delta L}, \bar{L} + \Delta L) - J^*(v^{\bar{L}}, \tau^{\bar{L}}, \bar{L})| \leq \delta,$$

$$\Delta J^*(v^{\bar{L}}, \tau^{\bar{L}}, \bar{L}) / J^*(v^{\bar{L}}, \tau^{\bar{L}}, \bar{L}) \leq \delta,$$

$$\Delta J^*(v^{\bar{L}}, \tau^{\bar{L}}, \bar{L}) / \Delta L \leq \delta,$$

где  $\Delta L > 0$  — заданное целое число, определяющее приращение числа интервалов постоянства управлений,  $\delta$  — заданное положительное число, определяемое с требуемой точностью решения задачи оптимизации числа интервалов постоянства управления.

Для определения искомого рационального числа  $\bar{L}$  интервалов постоянства можно использовать какой-либо из алгоритмов одномерного поиска, например метод деления пополам, метод золотого сечения.

По результатам решения задачи управления на классе кусочно-постоянных управляющих воздействий с заранее заданным числом  $L$  интервалов постоянства можно рассмотреть вопрос уменьшения числа  $L$ , если для оптимальных  $\tau^L$  и  $v^L$  на каких-либо двух последовательных  $j$ -м и  $(j+1)$ -м временных интервалах,  $j=0, \dots, L-1$ , выполнилось одно из условий

$$|\tau_j^L - \tau_{j+1}^L| < \delta_1, \quad (15)$$

$$|v_{ij}^L - v_{ij+1}^L| \leq \delta_2, \quad i=1, \dots, r, \quad (16)$$

для заданных достаточно малых значений  $\delta_1, \delta_2 > 0$ . В случае выполнения (15)  $j$ -й интервал постоянства управления можно исключить в силу его малости, а в случае (16)  $j$ -й и  $(j+1)$ -й интервалы можно объединить в силу совпадения на них значений управления. Следовательно, в обоих случаях число интервалов  $L$  постоянства управления уменьшится на единицу.

#### РЕЗУЛЬТАТЫ ЧИСЛЕННЫХ ЭКСПЕРИМЕНТОВ

С помощью формул градиента (6), (10), (13) рассмотрим следующий итерационный алгоритм для определения оптимальных значений кусочно-постоянных управлений, основанный на методах оптимизации первого порядка.

**Шаг 1.** Множества  $X_0, Y$  покрываются узлами сеточной области  $(x_{0i}, y_j)$ , где  $i, j$  — номера узлов сетки, используемых в квадратурных формулах для аппроксимации интегралов в (4) по множествам  $X_0$  и  $Y$ , относительно которых проводятся последующие вычисления по определению значений компонентов градиента.

**Шаг 2.** При текущем значении вектора  $(v^k, \tau^k) \in E^{L(r+1)-1}$  и для  $x_{0i} \in X_0, y_j \in Y$  каким-либо численным методом решается прямая задача Коши (1) и определяется  $x^k(t; v^k, \tau^k, x_{0i}, y_j)$ .

**Шаг 3.** Для соответствующего решения  $x^k(t; v^k, \tau^k, x_{0i}, y_j)$  численным методом находится решение сопряженной задачи Коши (6)  $\psi^k(t; v^k, \tau^k, x_{0i}, y_j)$ .

**Шаг 4.** С помощью (10), (13) с использованием какой-либо квадратурной формулы вычисляются слагаемые интегральной суммы для компонентов вектора градиента функционала.

**Шаг 5.** Применяя численные методы конечномерной оптимизации первого порядка, например итерационный метод проекции градиента на ограничения (2), (3), вычисляется новое приближение

$$(v^{k+1}, \tau^{k+1}) = P_{(2),(3)}[(v^k, \tau^k) - \alpha \nabla I(v^k, \tau^k)], \quad k = 0, 1, \dots,$$

где  $P_{(2),(3)}(v, \tau)$  — оператор проектирования вектора  $(v, \tau)$  на допустимую область параметров, определяемую ограничениями (2), (3);  $(v^0, \tau^0)$  — некоторое заданное начальное приближение;  $\alpha$  — шаг одномерной минимизации. В случае невыполнения условия оптимальности или останова итерационного процесса (например,  $|\alpha| \leq \varepsilon$  или  $|I(v^{k+1}, \tau^{k+1}) - I(v^k, \tau^k)| \leq \varepsilon$ ,  $\varepsilon$  — заданная точность оптимизации) повторяются шаги 2–5.

Приведем численные результаты применения полученных формул в следующих тестовых задачах.

**Задача 1.** Используя формулы (10), (13), применим предложенный подход к тестовой задаче, в основе которой лежит модельная задача с точно заданными значениями параметра  $y = 1$  и начальными условиями  $x_0 = (5; 0)$  при известном оптимальном управлении  $v^* = (v_1^*, v_2^*, v_3^*) = (1; -1; 1)$ ,  $\tau^* = (\tau_1^*, \tau_2^*) = (0.95; 4.55)$ :

$$\begin{cases} \dot{x}_1 = x_2, \\ \dot{x}_2 = yu - \sin x_1, \end{cases} \quad x_1(0) \in [4.8; 5.2], \quad x_2(0) = 0, \quad (17)$$

$$y \in [0.9; 1.1], \quad |u(t)| \leq 1, \quad t \in [0; 5],$$

$$J(u) = \int_{0.9}^{1.1} \int_{4.8}^{5.2} [x_1^2(5; x_0, y) + x_2^2(5; x_0, y)] d\wp_{X_0}(x_0) d\wp_Y(y) \rightarrow \min_u. \quad (18)$$

Функции распределения  $\wp_{X_0}(x_0)$  и  $\wp_Y(y)$  выберем равномерными:

$$\wp_{X_0}(x_0) = \frac{1}{0.4}(x_0 - 4.8), \quad \wp_Y(y) = \frac{1}{0.2}(y - 0.9),$$

тогда функционал (18) примет вид

$$J(u) = \frac{1}{0.08} \int_{0.9}^{1.1} \int_{4.8}^{5.2} [x_1^2(5; x_0, y) + x_2^2(5; x_0, y)] dx_0 dy \rightarrow \min_u. \quad (19)$$

Здесь будем полагать, что число интервалов постоянства кусочно-постоянного управления  $u(t)$  есть  $L = 3$ , т.е. оптимизируется вектор  $(\tau, v) = (\tau_1, \tau_2, v_1, v_2, v_3)$ .

В произвольно взятой точке  $(\tau, \nu) = (0.78; 3.46; 0.70; -0.60; 0.50)$  вектор градиента, рассчитанный по формулам (10), (13), определяется равенством

$$\text{grad } I(\tau, \nu) = (-10.8616; -12.7888; -8.5500; 10.3567; 10.9001).$$

Для сравнения использовались также центральная, правая и левая схемы разностных аппроксимаций производных в этой точке:

$$\nabla I(x) = (I(x+h) - I(x-h)) / (2h) + o(h^2), \quad (20)$$

$$\nabla I(x) = (I(x+h) - I(x)) / h + o(h), \quad (21)$$

$$\nabla I(x) = (I(x) - I(x-h)) / h + o(h). \quad (22)$$

Значения компонентов вектора  $\nabla I(\tau, \nu)$ , как видно из табл. 1, существенно зависят от  $h$ . Наилучшее значение получено с применением центральной схемы при  $h=0.005$  и  $h=0.001$ , т.е. оно близко к значению, рассчитанному по формулам (10), (13). Эксперименты показали, что это справедливо и для других значений оптимизирующих параметров.

**Таблица 1**

$h$	Значения $\nabla I(\tau, \nu)$ , вычисленные по разностным схемам		
	Центральная (20)	Левая (22)	Правая (21)
0.1	(-10.7143; -12.7849; -8.5426; 10.6442; 10.8991)	(-12.0919; -12.9078; -8.7913; 9.3894; 10.7204)	(-9.3368; -12.6620; -8.2938; 11.8989; 11.0777)
0.05	(-10.7849; -12.8012; -8.5481; 10.4282; 10.8998)	(-11.4715; -12.8623; -8.6723; 9.8072; 10.8105)	(-10.0983; -12.7402; -8.4240; 11.0492; 10.9891)
0.01	(-10.8610; -12.7888; -8.5499; 10.3596; 10.9001)	(-10.9460; -12.7952; -8.5747; 10.2358; 10.8822)	(-10.7760; -12.7824; -8.5251; 10.4834; 10.9179)
0.005	(-10.8615; -12.7888; -8.5500; 10.3574; 10.9001)	(-10.9040; -12.7920; -8.5624; 10.2955; 10.8911)	(-10.8190; -12.7856; -8.5376; 10.4193; 10.9090)
0.001	(-10.8616; -12.7888; -8.5500; 10.3567; 10.9001)	(-10.8701; -12.7894; -8.5525; 10.3444; 10.8983)	(-10.8531; -12.7881; -8.5475; 10.3691; 10.9018)

В табл. 2 приведены результаты численных экспериментов по решению задачи (17), (19) с точностью оптимизации  $\varepsilon = 0.001$  при различных начальных значениях  $(\tau^0, \nu^0)$  управляющего вектора  $(\tau, \nu)$ .

**Таблица 2**

Номер точки	Число итераций	Численные результаты решения задачи (17), (19) при $L = 3$			
		$(\tau^0, \nu^0)$	$I(\tau^0, \nu^0)$	$(\tau^*, \nu^*)$	$I(\tau^*, \nu^*)$
1	34	(0.78; 3.46; 0.70; -0.60; 0.50)	33.0325	(0.9651; 4.5500; 1.0000; -1.0000; 1.0000)	13.0587
2	28	(0.78; 3.46; 2.00; -2.00; 0.50)	7.9791	(0.9709; 4.5500; 1.0000; -1.0000; 1.0000)	13.0591
3	68	(0.52; 2.73; 0.80; -0.80; 0.40)	44.2627	(0.9659; 4.5485; 1.0000; -1.0000; 1.0000)	13.0595
4	35	(0.28; 3.26; 0.26; -0.40; 0.32)	43.1466	(0.9690; 4.5500; 1.0000; -1.0000; 1.0000)	13.0589
5	27	(0.64; 2.82; 0.85; -0.30; 0.40)	43.1901	(0.9668; 4.5500; 1.0000; -1.0000; 1.0000)	13.0588



В табл. 3 приведены результаты оптимизации кусочно-постоянных управлений в задаче (17), (19) с пятью ( $L = 5$ ) интервалами постоянства управления для двух различных начальных точек итерационного процесса. Используя условия (15), (16), из полученных результатов оптимизации вытекает следующее. Оптимальное решение, полученное из первой начальной точки, имеет компоненты  $\tau_1^*, \tau_2^*$  вектора  $\tau^*$ , которые удовлетворяют условию (15), а компоненты  $v_3^*, v_4^*$  вектора  $v^*$  удовлетворяют условию (16). Для оптимального решения, полученного из второй начальной точки, значения компонентов  $\tau_1^*, \tau_2^*, \tau_3^*$  вектора  $\tau^*$  удовлетворяют условию (15). Следовательно, объединяя компоненты с близкими значениями, получим аналогичные табл. 2 результаты, а также  $L^* = 3$ .

**Таблица 3**

Номер точки	Число итераций	Численные результаты решения задачи (17), (19) при $L = 5$			
		$(\tau^0, v^0)$	$I(\tau^0, v^0)$	$(\tau^*, v^*)$	$I(\tau^*, v^*)$
1	16	(0.62; 0.78; 2.26; 3.76; 0.4; 0.5; -0.6; -0.8; 0.8)	31.1464	(0.950; 0.971; 1.875; 4.552; 1.00; 0.613; -1.00; -1.00; 1.00)	13.0589
2	5	(1.11; 0.76; 0.81; 4.76; 0.45; 0.85; -0.7; -0.8; 0.8)	19.1692	(0.983; 0.983; 0.983; 4.550; 1.00; 0.845; -0.646; -1.00; 1.00)	13.0774

**Задача 2.** Применим рассмотренный подход к следующей тестовой задаче, в основе которой лежит модельная задача с точно заданными значениями параметра  $y=1$  и начальными условиями  $x_0 = (1; 0)$  при известном оптимальном управлении  $v^* = (v_1^*, v_2^*) = (4; 1)$ ,  $\tau^* = \tau_1^* = \pi / 4$ :

$$\begin{cases} \dot{x}_1 = x_2, \\ \dot{x}_2 = -yu(t)x_1, \end{cases} \quad x_1(0) \in [0.7; 1.2], \quad x_2(0) = 0, \quad (23)$$

$$y \in [0.9; 1.1], \quad 1 \leq u(t) \leq 4, \quad t \in \left[0; \frac{3\pi}{4}\right];$$

$$J(u) = \int_{0.9}^{1.1} \int_{0.7}^{1.2} x_1 \left( \frac{3\pi}{4}; x_0, y \right) d\varphi_{X_0}(x_0) d\varphi_Y(y) \rightarrow \min_u. \quad (24)$$

Функции распределения  $\varphi_{X_0}(x_0)$  и  $\varphi_Y(y)$  выберем следующим образом:

$$\varphi_{X_0}(x_0) = \frac{1}{0.5}(x_0 - 0.7), \quad \varphi_Y(y) = \frac{1}{0.2}(y - 0.9).$$

Тогда функционал (24) примет вид

$$J(u) = \frac{1}{0.1} \int_{0.9}^{1.1} \int_{0.7}^{1.2} x_1 \left( \frac{3\pi}{4}, x_0, y \right) dx_0 dy \rightarrow \min_u. \quad (25)$$

Здесь будем полагать, что число интервалов постоянства кусочно-постоянного управления  $u(t)$  есть  $L = 2$ , т.е. оптимизируется вектор  $(\tau, v) = (\tau_1, v_1, v_2)$ .

В табл. 4 приведены результаты численного решения задачи (23), (25) для различных начальных значений  $(\tau^0, v^0)$  управляющего вектора  $(\tau, v)$ .

Таблица 4

Число итераций	Численные результаты решения задачи (23), (25) при $L = 2$			
	$(\tau^0, \nu^0)$	$I(\tau^0, \nu^0)$	$(\tau^*, \nu^*)$	$I(\tau^*, \nu^*)$
6	(1.231; 3.200; 1.500)	-1.2582	(0.82466; 4.0000; 1.0000)	-1.8908
6	(0.522; 2.850; 1.200)	-1.2410	(0.82467; 4.0000; 1.0000)	-1.8908
5	(0.953; 3.150; 2.430)	-0.8868	(0.82467; 4.0000; 1.0000)	-1.8908
5	(1.847; 3.540; 1.820)	-0.5380	(0.82467; 4.0000; 1.0000)	-1.8908
4	(1.368; 2.180; 1.470)	-1.1169	(0.82467; 4.0000; 1.0000)	-1.8908
5	(2.092; 1.890; 0.750)	-0.9739	(0.82467; 4.0000; 1.0000)	-1.8908

## ЗАКЛЮЧЕНИЕ

В настоящей статье получены формулы для градиента функционала в задаче оптимального управления объектами, описываемыми системами обыкновенных дифференциальных уравнений на классе кусочно-постоянных функций при неточной информации о начальных условиях и параметрах. Эти формулы для градиента целевого функционала задачи позволяют применить методы оптимизации первого порядка для численного решения задачи оптимального управления.

С учетом технической легкости и возможности достаточно точной реализации кусочно-постоянных управляющих воздействий предлагаемый подход к решению рассмотренной задачи оптимального управления может найти широкое применение в системах автоматизированного и автоматического управления при неточно заданной информации о начальных условиях и параметрах.

## СПИСОК ЛИТЕРАТУРЫ

1. Габасов Р., Кириллова Ф.М. Принцип максимума в теории оптимального управления. — М.: Наука и техника, 1974. — 272 с.
2. Габасов Р., Кириллова Ф.М., Костюкова О.И. Синтез оптимальных управлений для динамических систем при неполной и неточной информации об их состояниях // Тр. МИАН. — 1995. — Т. 211. — С. 140–152.
3. Третьяков В.Е., Целищева И.В., Шишкин Г.И. Оптимальное управление системами с неполной и неточной информацией // Тр. ИММ. — 1992. — Т. 2. — С. 176–187.
4. Krasovskii N.N., Tarasova S.I., Tretyakov V.E., Shishkin G.I. Control with information deficit // Probl. of Control and Inform. Theory. — 1986. — **15**, N 3. — P. 203–218.
5. Chen S.B. The robust optimal control of uncertain systems-state space method // Automatic Control, IEEE Transactions on Automatic Control. — 1993. — **38**, N 6. — P. 951–957.
6. Ka-Veng Yuen and James L. Beck. Reliability-based robust control for uncertain dynamical systems using feedback of incomplete noisy response measurements // Earthquake Engineering and Structural Dynamics. — 2003. — **32**. — P. 751–770.
7. Quincampoix M., Veliov V.M. Optimal control of uncertain systems with incomplete information for the disturbances // SIAM J. on Control and Optimization. — 2004. — **43**, N 4. — P. 1373–1399.
8. Сергиенко И.В., Козерацкая Л.Н., Лебедева Т.Т. Исследование устойчивости и параметрический анализ дискретных оптимизационных задач. — К.: Наук. думка, 1995. — 170 с.
9. Sergienko I.V., Deineka V. S. Optimal control of distributed systems with conjugation conditions. — New York: Kluwer, 2005. — 400 p.
10. Айда-заде К.Р., Рагимов А.Б. О решении задач оптимального управления на классе кусочно-постоянных функций // Автоматика и вычисл. техника. — 2007. — № 1. — С. 27–36.

Поступила 28.12.2010